

МАГНИТНЫЕ СВОЙСТВА НАНОКЛАСТЕРОВ Еу, ОБРАЗУЮЩИХСЯ В КРИСТАЛЛАХ NaCl ПРИ ПЛАСТИЧЕСКОЙ ДЕФОРМАЦИИ И АГРЕГАЦИИ

A. A. Баскаков^a, Л. Р. Дунин-Барковский^{a,b}, Р. Б. Моргунов^{a},*

*Й. Танимото^{b**}, С. З. Шмурек^a*

*^a Институт физики твердого тела Российской академии наук
142432, Черноголовка, Московская обл., Россия*

^b Hiroshima University, Higashi-Hiroshima 739-8526, Japan

Поступила в редакцию 30 июня 2004 г.

Обнаружено, что пластическая деформация состаренных кристаллов и диффузионно-контролируемое агрегирование ионов Eu²⁺ в свежезакаленных кристаллах NaCl: Eu приводят к образованию комплексов, связанных обменным взаимодействием. Растворение крупных преципитатов закаливанием и последующее агрегирование примеси приводят к зарождению малоатомных магниточувствительных кластеров. Постоянное магнитное поле с индукцией 5 Тл увеличивает вероятность перехода магниточувствительных кластеров из высокоспинового в низкоспиновое метастабильное состояние и вызывает изменение их атомарной структуры.

PACS: 61.72.Hn

1. ВВЕДЕНИЕ

Исследование магнитопластических эффектов в ионных и ковалентных кристаллах привело к появлению новых физических принципов управления их механическими свойствами с помощью магнитного поля, изменяющего спиновую динамику в отдельных парах дефектов [1–3]. Было установлено, что некоторые спин-зависимые стадии взаимодействия парамагнитных дефектов могут протекать быстрее спин-решеточной релаксации и потому быть чувствительными к относительно небольшим магнитным полям с индукцией $B \sim 1$ Тл при температурах, близких к комнатной. Обнаружилось, что часть магнитопластических эффектов объясняется преобразованием в магнитном поле атомарной структуры нанокластеров примесных атомов, являющихся стопорами для дислокаций [3]. Диффузионно-контролируемое формирование таких нанокластеров из отдельных примесно-вакансационных диполей интенсивно изучалось и ранее [4–10], однако воз-

можность влияния электронно-спиновых процессов на агрегирование примеси не принималась во внимание. Исследование влияния магнитного поля на процесс кластерообразования в кристаллической решетке помимо новой информации об элементарных процессах пластичности и возможности управления ей с помощью поля может способствовать выделению вклада электронно-спиновых процессов в агрегацию примеси.

В работах [11–14] было показано, что атомарная структура кластеров, образующихся при пластической деформации или агрегировании ионов Eu²⁺ в кристаллической решетке NaCl, может быть изменена магнитным полем, а эти изменения могут быть обнаружены по спектрам фотолюминесценции. Для понимания микромеханизмов этого процесса требуется информация о спиновом состоянии кластеров до и после их преобразования в магнитном поле. Общие принципы физики неравновесных спин-зависимых явлений [15–20] дают только одну возможность для объяснения причин влияния магнитного поля на атомную структуру кластеров — изменение их спинового состояния в моменты воз-

*E-mail: morgunov@issp.ac.ru

**Y. Tanimoto.

буждения термическими флуктуациями. При этом начальное и по крайней мере одно из возможных конечных состояний таких кластеров должны соответствовать устойчивым спин-коррелированным парам, тройкам или более сложным системам, в которых присутствует обменное взаимодействие, сохраняющее спиновые корреляции в кластере при высоких температурах. Магнитное поле способно изменить взаимную ориентацию в кластерах только в моменты перехода из одного устойчивого состояния в другое, когда разность энергий между ними соизмерима с зеемановским расщеплением спиновых уровней порядка $\mu_B g B$, где B — индукция постоянного магнитного поля, μ_B — магнетон Бора, g — g -фактор парамагнитной частицы. До сих пор магнитные свойства кластеров, чувствительных к магнитным полям, их начальные и конечные спиновые состояния, а также вклад в общую магнитную восприимчивость парамагнитной примесной подсистемы не были определены ни для одной из систем, в которой был бы обнаружен магнитопластический эффект или эффекты влияния слабого магнитного поля на другие физические свойства кристаллов.

Цели настоящей работы заключались 1) в исследовании магнитных свойств кластеров Eu, образовавшихся при пластической деформации кристаллов NaCl, а также при диффузионно-контролируемой агрегации примесно-вакансационных диполей Eu, 2) в обнаружении влияния магнитного поля на эффективный спин магниточувствительных неравновесных кластеров Eu и определении направления этого перехода.

2. МЕТОДИКА ЭКСПЕРИМЕНТОВ

В опытах использовали кристаллы NaCl : Eu массой около 0.1 г, содержащие 600–1000 ppm европия. Кристаллы были выращены по методу Чохральского в контролируемой атмосфере сухого аргона. Легирование осуществлялось добавлением в расплав известного количества EuCl₂, предварительно восстановленного из EuCl₃ · 6H₂O.

Измерения действительной части магнитной восприимчивости были выполнены с помощью СКВИД-магнитометра MPMS-7 в постоянном магнитном поле 0.3 Тл в диапазоне температур 2–300 К. Чувствительность магнитометра по магнитному моменту в режиме постоянного магнитного поля при использовании моды RSO (reciprocating sample option) составляла 10⁻⁸ ед. СГСМ, что было достаточно для определения магнитного момента M с точностью порядка 10⁻⁴. Главной целью было

исследовать парамагнитную (или суперпарамагнитную) составляющую магнитного момента образца, связанную со вкладом ионов Eu²⁺. В случае невзаимодействующих ионов Eu²⁺ зависимость $M(T)$ подчиняется закону Кюри, т. е. $M(T)T = \text{const}$ при высоких температурах, а при низких температурах $kT \sim \mu_B g B$ величина $M(T)T$ начинает уменьшаться в соответствии с функцией Бриллюэна, поскольку значительно изменяется распределение парамагнитных частиц по спиновым состояниям. Другой причиной уменьшения величины $M(T)T$ при понижении температуры может быть отрицательное обменное взаимодействие внутри кластеров европия. Положительное обменное взаимодействие способно увеличивать $M(T)T$ по сравнению со случаем невзаимодействующих спинов. Роль слабого обменного взаимодействия может быть обнаружена при достаточно низких температурах $kT \sim \Theta$, где Θ — энергия обменного взаимодействия.

Поскольку заполнение спиновых состояний и обменные взаимодействия в кластерах являются главными факторами, управляющими их магниточувствительностью, наибольший интерес представляла низкотемпературная часть зависимости $M(T)$. На фоне закона Кюри добавки, связанные с обменным взаимодействием, обычно невелики, поэтому для установления вклада обменных взаимодействий и определения спина частиц использовали обычный подход — строили зависимость произведения $M(T)T$ от температуры и других параметров эксперимента. Таким образом, механические и магнитные воздействия на кристалл прикладывались при комнатной температуре, а для определения магнитного состояния примеси использовалась наиболее информативная низкотемпературная часть зависимости $M(T)T$.

Во всех исследуемых кристаллах зависимость $M(T)T$ в области высоких температур была линейной и отклонялась от прямой только при $T < 20$ –30 К (рис. 1a). Это объясняется тем, что существенный вклад в полный магнитный момент образца, $M = M_{lat} + M_{Eu}$, дает кристаллическая решетка, димагнитный момент M_{lat} которой не зависит от температуры. Поэтому из полученных температурных зависимостей $M(T)T$ стандартным способом [21] вычиталась диамагнитная составляющая, которая была определена по наклону зависимости произведения $M(T)T$ при температурах, близких к комнатной, где $T \gg \Theta$ и вклад парамагнитной составляющей $M_{Eu}T$ не зависит от температуры. Наклон экспериментальной зависимости $M(T)T$ определяли путем аппроксимации

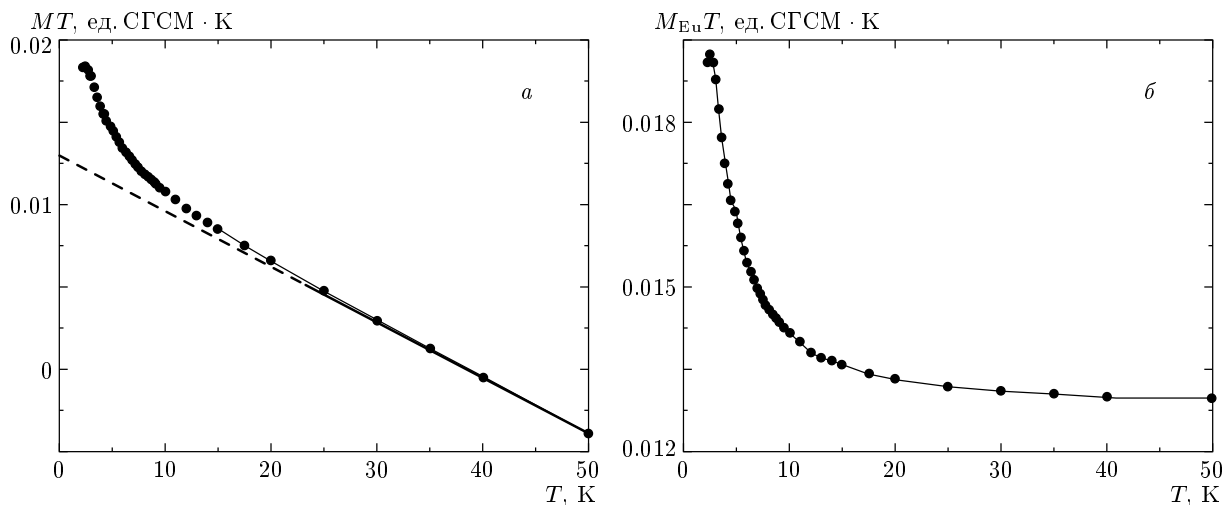


Рис. 1. Температурные зависимости магнитного момента M , умноженного на температуру T , для кристалла NaCl : Eu: *a* — до вычитания диамагнитной составляющей; *б* — после ее вычитания

ее высокотемпературной части линейной функцией. Зависимости $M_{\text{Eu}}(T)T$, получившиеся после вычитания диамагнитной составляющей решетки (рис. 1 β), характеризуют вклад только парамагнитной (или суперпарамагнитной) составляющей M_{Eu} в магнитный момент кристалла. Другим способом определения величины M_{lat} было взвешивание образца и расчет магнитного момента по справочным значениям диамагнитной восприимчивости NaCl. Этот способ приводил к тому же значению M_{lat} , что и при использовании температурной зависимости $M(T)T$.

Особые предосторожности были предприняты в процессе приготовления образцов. После их выкашивания или термической обработки очищенной дезинфицированной водой (ultrapure water 43001-1B) сполировывали приповерхностный слой толщиной примерно 100 мкм, для того чтобы случайные посторонние ферромагнитные частицы не могли повлиять на магнитные свойства кристалла. Все прикосновения к кристаллу производили с помощью керамического пинцета, а его деформацию осуществляли в деформационной машине с кварцевыми штоками. Последнее обстоятельство исключало впрессовывание посторонних магнитных частиц в поверхность кристалла.

Для макропластического деформирования кристаллов сжатием использовали «мягкую» деформирующую машину, в которой механические напряжения σ линейно нарастили со временем, $\sigma \propto t$, а измерялась относительная деформация ε образца. Во многих работах часто используют выпускаемую в

промышленности «жесткую» деформационную машину типа Instron, в которой линейная развертка по времени задается не для механических напряжений, а для деформации $\varepsilon \propto t$, пропорциональной средней скорости увеличения площади, «заметенной» дислокациями. В наших опытах скорость деформирования не была постоянной, и можно указать лишь ее среднее значение порядка 10^{-5} с^{-1} . Фотолюминесценцию кристаллов исследовали при комнатной температуре с помощью стандартного спектрофотометра Jasco-777, возбуждая свечение светом с длиной волны $\lambda = 370$ нм и регистрируя спектры в диапазоне длин волн $\lambda = 380$ –735 нм. ЭПР-спектры были получены с помощью спектрометра Bruker ESP-300 при $T = 3.3$ К (частота микроволнового поля 9.453 ГГц). Постоянное магнитное поле спектрометра было направлено вдоль оси (001). В некоторых опытах использовали лабораторный сверхпроводящий магнит JMTD-LH15T40, позволяющий подвергать образцы действию постоянного магнитного поля до 15 Тл при комнатной температуре.

3. ЭКСПЕРИМЕНТАЛЬНЫЕ РЕЗУЛЬТАТЫ

3.1. Влияние пластической деформации на магнитные и оптические свойства кластеров Eu

При исследовании влияния пластической деформации на магнитные свойства кластеров использовались кристаллы, выдержаные в течение пяти лет при комнатной температуре и не подверг-

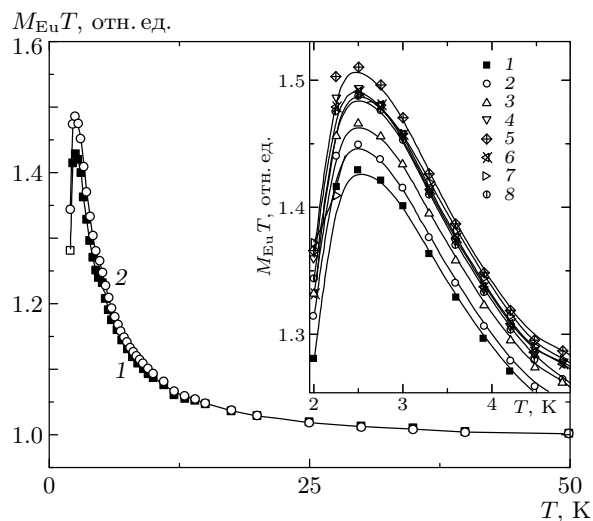


Рис. 2. Зависимость величины $M_{\text{Eu}}(T)$ от температуры в кристалле при его деформациях $\varepsilon = 0$ (кривая 1) и $\varepsilon = 10\%$ (кривая 2). Значение $M_{\text{Eu}}(T)$ при комнатной температуре принято за единицу. Сплошными линиями показаны расчетные зависимости $M_{\text{Eu}}(T)T$, полученные с учетом вкладов изолированных примесно-вакансационных диполей и обменно-связанных кластеров. На вставке показана низкотемпературная часть зависимости $M_{\text{Eu}}(T)T$ при различных относительных деформациях ε : 1 – 0%; 2 – 2%; 3 – 4.8%; 4 – 5.6%; 5 – 7%; 6 – 8%; 7 – 10%;

гавшииеся термическим обработкам, так что большая часть примесных ионов находилась в состоянии крупных преципитатов. Кристаллы содержали 1000 ppm европия. Образцы $\text{NaCl} : \text{Eu}$ после первого измерения температурной зависимости произведения MT помещали в деформирующую машину и нагружали линейно нарастающей со временем механической нагрузкой. При этом записывали зависимость относительной деформации ε кристалла от механических напряжений σ . После деформации на $\varepsilon = 1\text{--}2\%$ кристаллы разгружали, и остаточная пластическая деформация ε_{res} определялась с помощью микрометра. Далее образец помещали в СКВИД-магнетометр и проводили измерение зависимости $M_{\text{Eu}}(T)T$. После этого кристалл опять подвергали деформированию и снова измеряли зависимость $M_{\text{Eu}}(T)T$. Таким образом было выполнено несколько деформаций и измерений температурной зависимости магнитного момента для одного и того же образца. Обнаружено, что пластическая деформация приводит к изменению формы зависимости $M_{\text{Eu}}(T)T$ (рис. 2). При деформациях, больших

5–6 %, отвечающих стадии упрочнения, дальнейшее деформирование образца не приводит к изменению зависимостей $M_{\text{Eu}}(T)T$ (рис. 2).

В работе [22] сообщалось об изменении магнитного момента химически «чистых» кристаллов NaCl после их деформации, а также о наличии остаточной намагниченности с характерной для ферромагнетиков температурной зависимостью. Для разделения вкладов от деформации кристаллической решетки и от изменения состояния парамагнитной примесной подсистемы были выполнены опыты с кристаллами $\text{NaCl} : \text{Cu}$. В наших экспериментах деформирование кристаллов с концентрацией меди около 1 ppm вызывало изменения магнитного момента кристалла на величину порядка 10^{-8} ед. СГСМ, что близко к пределу возможностей используемого магнитометра и на три–четыре порядка величины меньше, чем изменения, наблюдаемые нами в кристаллах $\text{NaCl} : \text{Eu}$ после их деформации. Таким образом, в наших опытах все изменения магнитных свойств кристаллов $\text{NaCl} : \text{Eu}$, вызванные пластической деформацией, были обусловлены процессами, происходящими в подсистеме парамагнитной примеси европия.

На рис. 3 представлены спектры ЭПР исследуемых кристаллов, полученные при 3.3 K до пластической деформации и после деформирования на 6 и 12 %. На вставках показаны фрагменты этих спектров, на которых видны серии узких линий шириной около 5 Э. Из представленной последовательности спектров видно, что с ростом степени пластической деформации происходит уменьшение доли узких линий и образование нескольких сравнительно широких полос (рис. 3).

Помимо изменения магнитных свойств деформирование кристаллов приводило к перераспределению интенсивностей в разных участках спектра фотолюминесценции кристаллов $\text{NaCl} : \text{Eu}$ и к появлению новой полосы при $\lambda = 536$ nm, обнаруженной нами ранее [23] (рис. 4). Как и при деформировании в «жесткой» машине [23], в данной работе спектр люминесценции практически не изменяется при деформировании до предела упругости. После достижения предела текучести, когда плотность дислокаций сильно увеличивается, наблюдается уменьшение интенсивности люминесценции при $\lambda = 427$ nm и ее увеличение при $\lambda = 536$ nm (рис. 4). В конце стадии легкого скольжения дислокаций (при $\varepsilon = 5\text{--}6\%$) эти изменения замедляются, и на стадии упрочнения интенсивности свечения в этих участках спектра почти перестают зависеть от дальнейшей пластической деформации (рис. 5). Таким образом, магнитные свой-

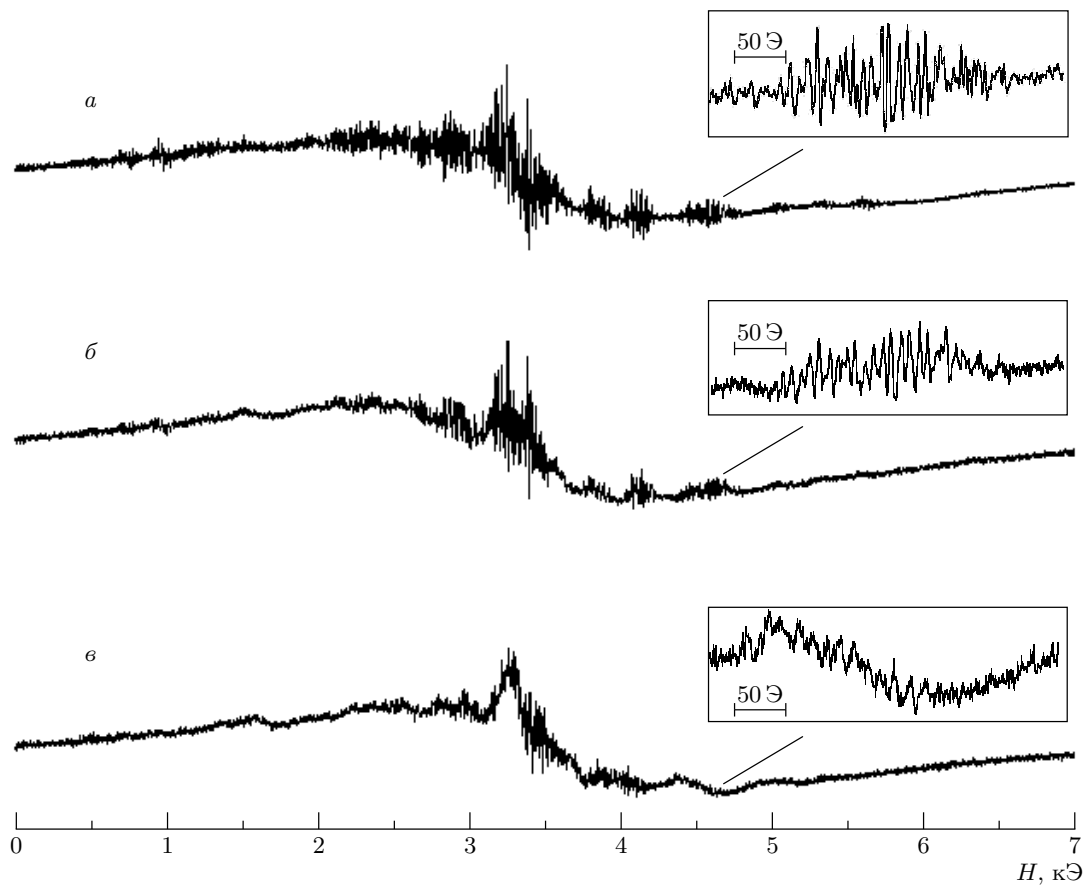


Рис. 3. Спектры ЭПР состаренного кристалла $\text{NaCl} : \text{Eu}$: *а* — до деформации; *б* — после деформации $\varepsilon = 6\%$; *в* — после деформации $\varepsilon = 12\%$. На вставках показаны фрагменты спектров, содержащие узкие линии примесно-вакансационных диполей

ства кристаллов и изменения спектра люминесценции, инициируемые деформацией в «мягкой» машине, чувствительны к смене стадий деформирования кристалла, наличию и режиму движения дислокаций.

3.2. Изменение магнитных свойств кристаллов в процессе агрегирования примесно-вакансационных диполей в кластеры

Для исследования изменений магнитного момента M_{Eu} , вызванных термообработкой кристаллов $\text{NaCl} : \text{Eu}$ (600 rpm) и агрегированием примеси, образцы выдерживали при температуре 770 К в течение 2 ч, а затем выбрасывали на медную пластину для увеличения скорости охлаждения. Эта процедура (закалка) приводила к сильному изменению кривой $M_{\text{Eu}}(T)T$: зависимость, характерная для суперпарамагнетика, после закалки приобретала форму, типичную для парамагнетика (рис. 6). Эти измене-

ния вызваны растворением крупных кластеров, связанных обменным взаимодействием, и их превращением в изолированные примесно-вакансационные диполи. С течением времени после закалки низкотемпературный хвост зависимости $M_{\text{Eu}}(T)T$ изменялся (рис. 7). При комнатной температуре наблюдалась тенденция возвращения зависимости $M_{\text{Eu}}(T)T$ к исходному (как до закалки) состоянию, что связано с постепенным диффузионно-контролируемым агрегированием примесно-вакансационных диполей в кластеры.

По мере агрегирования примесно-вакансационных диполей наблюдались также изменения спектра люминесценции кристаллов (рис. 8). Они заключались в увеличении интенсивности длинноволновых компонент спектра и уменьшении интегральной интенсивности люминесценции. При этом на четырех парах образцов, у которых сразу после закалывания спектры люминесценции были абсолютно идентич-

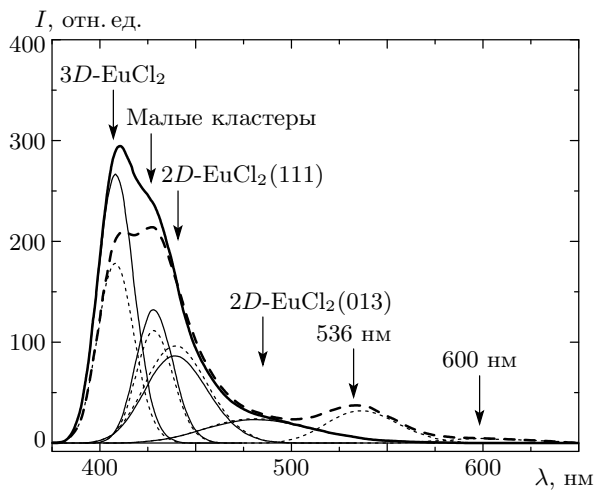


Рис. 4. Спектры фотолюминесценции состаренного кристалла $\text{NaCl} : \text{Eu}$ до деформации (сплошная жирная кривая) и после пластической деформации $\varepsilon = 10\%$ (штриховая кривая). Тонкими сплошными и пунктирными линиями показаны соответствующие разложения спектров на гауссовые составляющие до и после деформации в режиме линейно нарастающих механических напряжений. Стрелками указаны типы кластеров, соответствующих каждой из полос спектра по данным работы [4]

ны, наблюдали различие этих спектров через длительное время в зависимости от того, выдерживался ли кристалл в постоянном поле 15 Тл или нет. На образцах, которые первые 50–100 ч после закаливания находились в магнитном поле, интенсивность длинноволновой части спектра люминесценции была больше по сравнению с контрольными образцами. Это находится в соответствии с результатами наших предыдущих работ [11–14] и означает, что в процессе агрегации возникают магниточувствительные кластеры, преобразование которых в магнитном поле «переключает» пути агрегирования. Поэтому следующая серия опытов была направлена на исследование этих магниточувствительных неравновесных состояний.

3.3. Влияние постоянного магнитного поля на эффективный спин магниточувствительных неравновесных кластеров европия

Ранее было показано, что магниточувствительные малоатомные кластеры возникают примерно через 50 ч поле закаливания, если агрегирование проходит при комнатной температуре [11–14]. Други-

ми словами, поле с индукцией около 6 Тл влияет на микротвердость кристаллов и фотолюминесценцию, если в кристаллах образуются промежуточные кластеры примесно-вакансационных диполей, концентрация которых оказывается максимальна через 50 ч после закалки. Магнитное поле с индукцией меньше 1 Тл практически не изменяет свойств кристаллов. В работах [11, 12] установлено, что понижение температуры до 77 К подавляет магнитопластический эффект и эффект влияния магнитного поля на фотолюминесценцию. Принимая во внимание все эти факты, в наших опытах использовали измерительное слабое поле с индукцией 0.3 Тл и сильное поле, способное преобразовывать кластеры точечных дефектов. Схема опыта изображена на вставке к рис. 9. После закаливания кристаллы $\text{NaCl} : \text{Eu}$ (600 ppm) выдерживались при комнатной температуре в течение 2 сут, затем в диапазоне температур 2–200 К в слабом магнитном поле измеряли зависимость $M_{\text{Eu}}(T)T$. После этого кристалл отогревали до 300 К и выдерживали в течение 40 мин в отсутствие внешних воздействий. Это было необходимо для установления величины тех изменений M , которые могли быть обусловлены агрегированием примеси. После этого кристалл охлаждали до 2 К и снова получали зависимость $M_{\text{Eu}}(T)T$. После следующего отогрева до 300 К в СКВИД-магнетометре включали сильное поле с индукцией 5 Тл и выдерживали в нем образец в течение 40 мин. Для обнаружения изменений, индуцируемых в кристалле магнитным полем, после экспозиции кристалла в поле проводили еще одно измерение зависимости $M_{\text{Eu}}(T)T$ в слабом поле. Важно, что образец в процессе всех этих процедур оставался в магнетометре и его случайные смещения, неизбежные при вынимании, не могли оказать влияние на результаты экспериментов.

На рис. 9 представлены результаты этих экспериментов. Низкотемпературный хвост зависимости $M_{\text{Eu}}(T)T$ практически не изменялся в результате отогрева образца. Экспозиция кристаллов в поле с индукцией 5 Тл приводила к изменению формы зависимости $M_{\text{Eu}}(T)T$ в области низких температур. Подобные изменения были воспроизведены на всех шести использовавшихся в этой серии образцах. Нами была проверена возможность влияния посторонних факторов на чистоту эксперимента. Номинальное значение остаточного магнитного поля в магнетометре после отключения поля с индукцией 5 Тл составляет около 0.1 Э, т. е. порядка 10^{-6} от основного сигнала. Наличием столь слабого добавочного поля невозможно объяснить изменения магнитного момента кристалла, наблюдавшиеся в наших опытах.

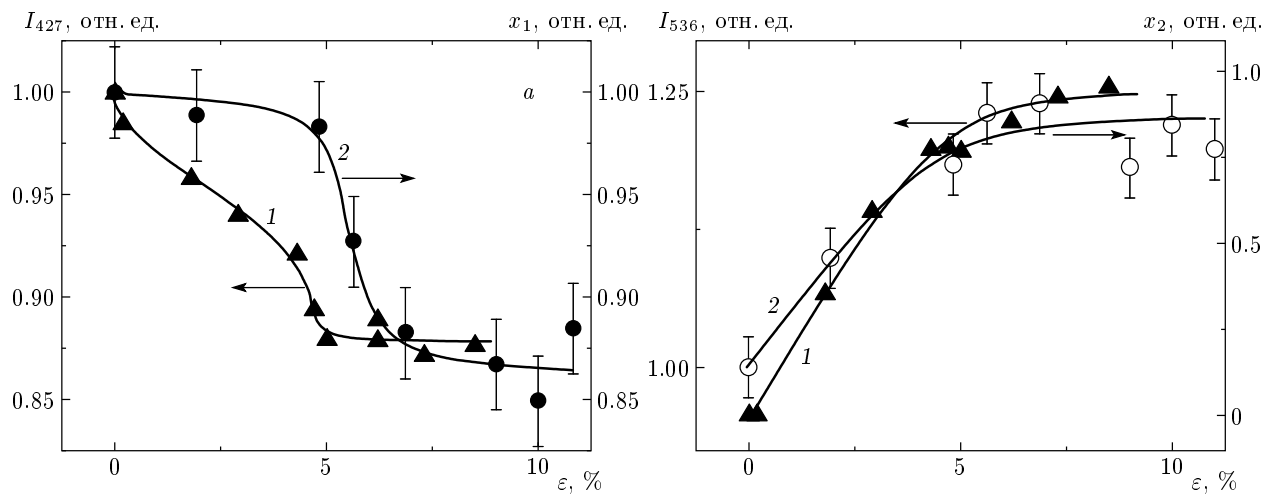


Рис. 5. а) Зависимости интенсивности I_{427} (кривая 1) люминесценции примесно-вакансационных диполей (полосы с центром при 427 нм) и числа x_1 (кривая 2) примесно-вакансационных диполей, полученного из анализа СКВИД-измерений от деформации ε ; за единицу приняты значения величин I_{427} и x_1 до деформации; б) зависимости интенсивности I_{536} (кривая 1) люминесценции кластеров (полосы с центром при 536 нм) и числа x_2 (кривая 2) обменно-связанных комплексов, полученного из анализа СКВИД-измерений, от деформации ε ; за единицу приняты значение величин I_{536} и x_2 до деформации

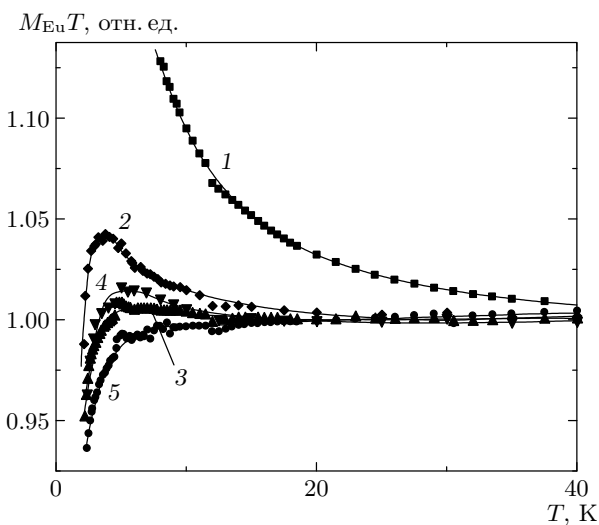


Рис. 6. Зависимости величины $M_{\text{Eu}}T$ от температуры в состаренном кристалле: 1 — до закалки; 2 — через 5 ч после закалки; 3 — через 30 сут после закалки; 4 — через 60 сут после закалки; 5 — через 120 сут после закалки

такс. Тем не менее нами были выполнены проверочные эксперименты, в которых были использованы кристаллы $\text{NaCl} : \text{Cu}$ (1–10 ppm), не подвергавшиеся термической обработке. Отсутствие возбужденных состояний подсистемы парамагнитных приме-

сей делало принципиально невозможным наблюдение изменений, инициированных магнитным полем при комнатной температуре. Другими словами, эти образцы использовались в качестве эталона, нечувствительного к полю. Установлено, что зависимость $M(T)T$ не изменялась в результате экспозиции кристаллов $\text{NaCl} : \text{Cu}$ в поле (рис. 10). Следовательно, остаточное поле магнетометра, следы ферромагнитных частиц на поверхности кристалла и другие артефакты не могли приводить к наблюдаемому нами изменению магнитных свойств кристаллов $\text{NaCl} : \text{Eu}$.

4. ОБСУЖДЕНИЕ ЭКСПЕРИМЕНТАЛЬНЫХ ДАННЫХ

Обсудим сначала изменение магнитных свойств кристаллов при их деформировании. Ионы Eu^{2+} обладают электронным спином $S = 7/2$ и в отсутствие обменных взаимодействий имеют ЭПР-спектр, состоящий из четырнадцати пакетов линий шириной около 5 Э, расщепленных сверхтонким взаимодействием [23]. В наших экспериментах эти узкие линии, очевидно, характеризуют долю изолированных примесно-вакансационных диполей. Широкие линии — ЭПР-спектр кластеров, уширенный дипольным или обменным взаимодействием (см. рис. 3). Изменение ЭПР-спектра по мере деформирования кристалла (уменьшения доли узких линий

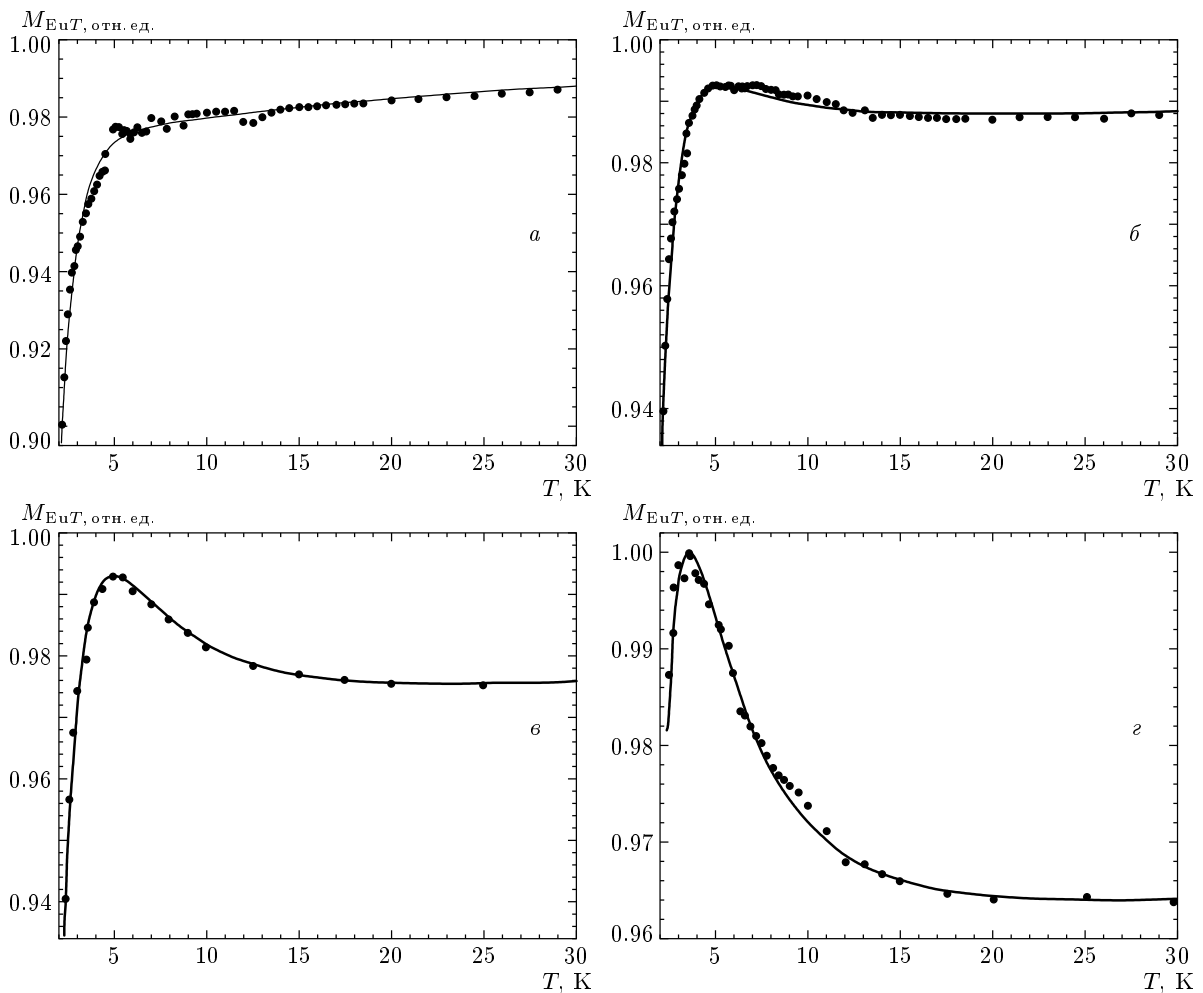


Рис. 7. Низкотемпературные фрагменты зависимостей $M_{\text{Eu}}(T)T$ в закаленных кристаллах через 5 ч (а), 30 сут (б), 60 сут (в), 120 сут (г) после закалки. Сплошными линиями показаны зависимости $M_{\text{Eu}}(T)T$, полученные с учетом вкладов изолированных примесно-вакансационных диполей и димеров в различных спиновых состояниях

и появления широких линий) указывает на уменьшение доли изолированных примесно-вакансационных диполей и возникновение новых кластеров (см. рис. 3). Поскольку в состаренных кристаллах содержатся кластеры различных типов, при анализе данных СКВИД-магнитометрии об обменном взаимодействии внутри этих кластеров можно было судить лишь в среднем, учитывая соответствующую поправку к функции Бриллюэна [24]. Поэтому зависимость $M(T)T$ аппроксимировали с учетом аддитивных вкладов в магнитный момент от x_1 изолированных примесно-вакансационных диполей M_{dip} и от x_2 обменно-связанных кластеров M_{cl} . Температурную зависимость $M_{\text{dip}}(T)$ описывали с помощью функции Бриллюэна $B_S(\zeta)$, которая отражает Больцмановское распределение электронов по спино-

вым уровням в зависимости от температуры:

$$M_{\text{dip}}(T) = g\mu_B S x_1 B_S(\zeta), \quad (1)$$

где

$$B_S(\zeta) = \frac{2S+1}{2S} \operatorname{cth} \frac{(2S+1)\zeta}{2S} - \frac{1}{2} S \operatorname{cth} \frac{\zeta}{2S},$$

$$\zeta = \frac{Sg\mu_B B}{kT},$$

μ_B — магнетон Бора, $g \approx 2$ — g -фактор.

Вклад M_{cl} обменно-связанных кластеров описывали такой же формулой, отличающейся от (1) тем, что аргумент функции Бриллюэна был изменен с учетом поправки T_0 , описывающей среднее по раз-

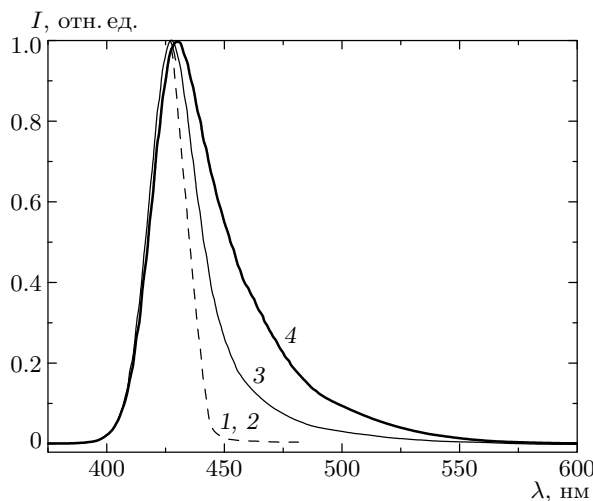


Рис. 8. Спектры фотолюминесценции двух закаленных кристаллов $\text{NaCl} : \text{Eu}$: 1 и 2 — совпадающие спектры сразу после закалки; 3 — спектр контрольного образца, выдержанного после закалки в течение 6 мес при комнатной температуре в отсутствие магнитного поля; 4 — спектр образца, находившегося первые 100 ч после закалки в поле 15 Тл и выдержанного после закалки в течение 6 мес при комнатной температуре

личным кластерам значение обменного взаимодействия $J \sim kT_0$:

$$\zeta = Sg\mu_B B/k(T + T_0).$$

Таким образом, аппроксимацию экспериментальных зависимостей $M(T)T$ проводили с помощью функции $M_{\text{Eu}}(T) = M_{\text{dip}}(T) + M_{\text{cl}}(T)$, в которой подгоночными параметрами были x_1 , x_2 и T_0 . На рис. 2 видно, что расчетная кривая хорошо согласуется с экспериментальными зависимостями при $T_0 = -2$ К. Поскольку оценка величины диполь-дипольных взаимодействий дает $T_0 \sim 0.1$ К, полученное нами значение характеризует среднее значение обменных антиферромагнитных взаимодействий в кластерах. Аппроксимация экспериментальных данных позволила найти зависимости количества изолированных примесно-вакансационных диполей, x_1 (рис. 5а), и обменно-связанных кластеров, x_2 (рис. 5б) от деформации ε кристаллов. В соответствии с выводами, полученными из анализа спектров фотолюминесценции и ЭПР-спектров, анализ данных СКВИД-магнитометрии показывает, что при деформации кристаллов количество изолированных диполей уменьшается, а число обменно-связанных кластеров растет, причем на стадии упрочнения наблюдается насыщение зависимо-

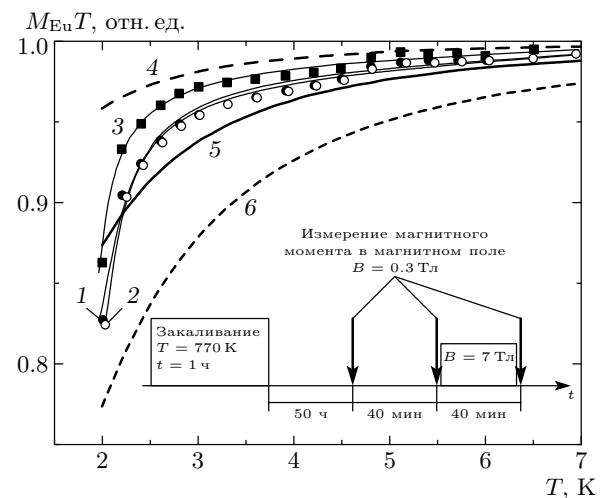


Рис. 9. Экспериментальные зависимости $M_{\text{Eu}}(T)T$, полученные при первом измерении до экспозиции в поле 5 Тл (1), при втором измерении после процедуры отогрева, проведенной до экспозиции в поле 5 Тл (2), при третьем измерении после экспозиции в поле 5 Тл (3), а также расчетные зависимости $M_{\text{Eu}}(T)T$, полученные из функции Бриллюэна, описывающей изолированные диполи со спином $S = 7/2$ (4), димеры с максимально возможным спином $S = 7$ (5), тримеры с максимально возможным спином $S = 21/2$ (6). На вставке показана последовательность процедур. Стрелками обозначено измерение зависимости $M_{\text{Eu}}(T)T$ в поле 0.3 Тл

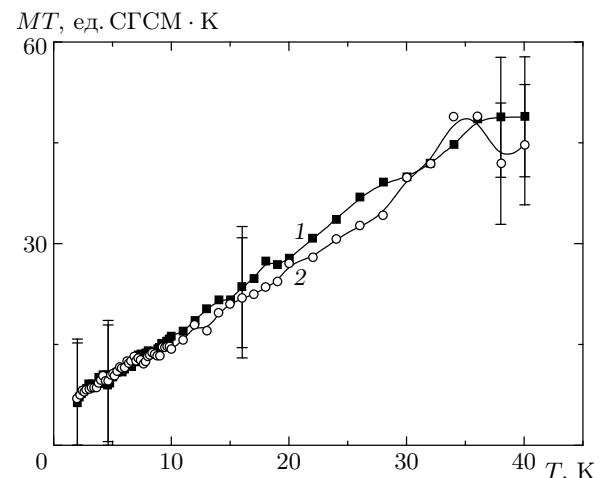


Рис. 10. Зависимости $M(T)T$, полученные в составленных кристаллах $\text{NaCl} : \text{Cu}$ (1 ppm) до (1) и после (2) экспозиции в поле 5 Тл

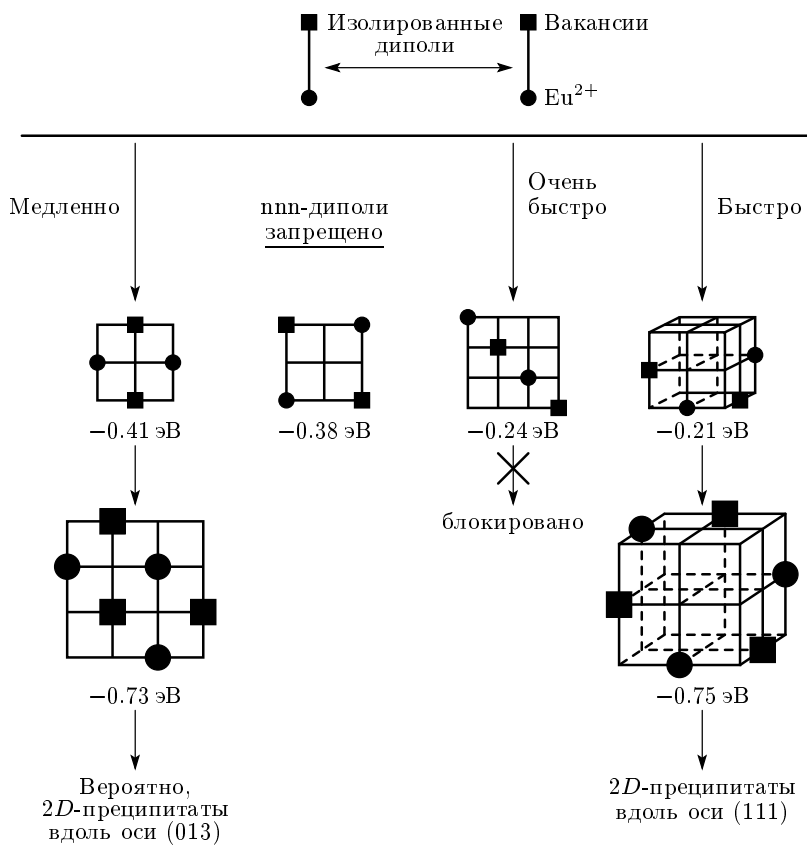


Рис. 11. Схематическое изображение путей агрегирования диполей в кластеры по данным работы [26]

стей $x_1(\varepsilon)$ и $x_2(\varepsilon)$. Этот вывод, полученный тремя независимыми методиками, противоположен тому, который был получен нами при деформировании этих же кристаллов в «жесткой» машине [25]. В работе [25] было показано, что в условиях постоянной скорости пластического деформирования в «жесткой» машине наблюдается разрушение кластеров и их превращение в изолированные примесно-вакансационные диполи или их малоатомные комплексы. Это означает, что режим деформации существенно влияет на характер взаимодействия дислокаций с точечными дефектами. Агрегирование кластеров при пластической деформации в данной работе можно объяснить увеличенной подвижностью примеси вдоль ядра дислокации и увеличением вероятности сближения диполей в этой области, а также переносом примеси движущимися дислокациями. Выбор между этими возможностями требует дополнительных экспериментов.

Переходя к обсуждению влияния термообработки на магнитные свойства примеси европия, отметим, что в наших опытах после закаливания наблюдался ЭПР-спектр, который соответствовал при-

существию в кристаллах только изолированных примесно-вакансационных комплексов или их слабосвязанных кластеров — димеров. Различные стадии процесса агрегирования примеси в ионных кристаллах были исследованы теоретически [26]. Было показано, что первичные продукты диффузионно-контролируемой агрегации — димеры (пары диполей) — в решетке NaCl могут быть четырех типов (рис. 11) и на начальных этапах все конфигурации образуются с равной вероятностью, поскольку являются результатом случайных встреч диполей, ближдающихся в решетке под действием термических флуктуаций. Эта стадия является «узким горлом» дальнейшей агрегации, поскольку только две из четырех конфигураций димеров допускают дальнейшее присоединение диполей и рост кластеров. Следовательно, невыгодные конфигурации должны быть сначала преобразованы термическими флуктуациями в выгодные, прежде чем возникнут тримеры и более сложные комплексы. Это подтверждается и результатами исследования кинетики изменения ЭПР-сигнала после закаливания [13].

В данной работе мы исследовали сравнительно короткие начальные стадии процесса агрегирования, на которых не могли образоваться крупные кластеры. При концентрации примеси 600 ppm среднее расстояние между диполями составляет $d \sim 100 \text{ \AA}$. Поэтому сближение двух диполей при коэффициенте диффузии $D \sim 10^{-22} \text{ м}^2/\text{с}$ потребует времени $t \sim d^2/D \sim 10^7\text{--}10^8 \text{ с}$, т. е. около 100 сут. Длительность наших измерений была приблизительно равна этому периоду. По этой причине зависимость $M_{\text{Eu}}(T)T$ моделировали с учетом вкладов x_1 изолированных примесно-вакансационных диполей и x_2 димеров различных конфигураций: $M_{\text{Eu}} = M_{\text{dip}} + M_{\text{dim}}$. Вклад диполей M_{dip} задавали формулой (1), а вклад димеров M_{dim} должен быть записан с учетом всех возможных спиновых состояний. Точное выражение для магнитного момента димеров было взято из [27]:

$$M_{\text{dim}} = \frac{1}{2} x_2 g \mu_B \times \frac{\sum_{S=0}^{S_{\max}} \exp\left(\frac{JS(S+1)}{kT}\right) \operatorname{sh}\left(\frac{2S+1}{2S}\zeta\right) SB_S(\zeta)}{\sum_{S=0}^{S_{\max}} \exp\left(\frac{JS(S+1)}{kT}\right) \operatorname{sh}\left(\frac{2S+1}{2S}\zeta\right)}, \quad (2)$$

где $\zeta = Sg\mu_B B/k(T + T_0)$.

Выше на рис. 7 представлена аппроксимация экспериментальных данных при различных временах после закалывания функцией

$$M_{\text{Eu}}(T)T = [M_{\text{dip}}(T) + M_{\text{dim}}(T)]T.$$

Видно, что в течение всего исследуемого промежутка времени экспериментальные данные хорошо описываются в рамках модели, учитывающей вклады диполей и димеров. Это подтверждает правильность выбранной модели, хотя и не исключает образования более сложных кластеров, которые, по-видимому, не дают существенного вклада в магнитный момент кристалла. Подгонка зависимостей $M_{\text{Eu}}(T)T$ описанной выше функцией позволила определить количества диполей (x_1) и димеров (x_2) как функции времени, прошедшего после закалывания. На рис. 12 видно, что по мере агрегации количество диполей уменьшается, а количество димеров возрастает, как и следовало ожидать на начальных стадиях кластерообразования.

Анализ эффекта влияния магнитного поля на средний спин кластеров, образующихся в процессе агрегации, может быть выполнен путем сравнения экспериментальных кривых $M_{\text{Eu}}(T)T$ с предсказа-

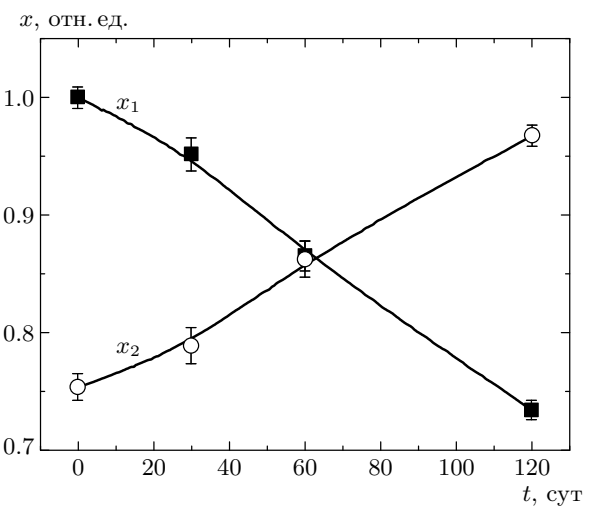


Рис. 12. Зависимости количества диполей (x_1) и димеров (x_2) от времени, прошедшего после закалывания кристаллов NaCl : Eu

ниями теории с использованием функции Бриллюэна, соответствующей состояниям с максимальным спином S_{\max} в диполях и различных типах кластеров: димерах, тримерах и т. д. Из рис. 9 следует, что экспериментальные кривые лежат между функциями Бриллюэна, записанными для диполей и для высокоспинового состояния димеров с $S = 7$. Если в качестве параметра аппроксимации взять средний спин, то функция Бриллюэна точно описывает зависимость $M_{\text{Eu}}(T)T$ до и после приложения сильного постоянного магнитного поля (рис. 9). Такая аппроксимация позволила установить, что средний спин кластеров до приложения поля был равен 6.2 ± 0.1 , а после приложения поля стал равным 4.8 ± 0.1 . Следовательно, экспозиция кристаллов в поле привела к уменьшению среднего спина, которое может быть объяснено переходом части кластеров из высокоспинового состояния в низкоспиновое. Поскольку СКВИД-магнетометрия позволяет исследовать только суммарный вклад всех типов кластеров в намагниченность, определить абсолютное значение спина магниточувствительных кластеров не представляется возможным в рамках этой методики. Однако из весьма общих соображений следует, что спины в кластере должны быть связаны сильным обменным взаимодействием, чтобы термические флуктуации быстро не разрушали такие комплексы и корреляция спинов сохранялась длительное время. Поэтому близость среднего спина $S = 6.2$ до приложения магнитного поля к его максимально му значению в димерах, $S_{\max} = 7$, позволяет пред-

полагать, что магниточувствительными кластерами являются димеры (пары диполей), в которых спины связаны обменным взаимодействием и ориентированы параллельно друг другу.

В заключение отметим, что в настоящее время процесс агрегирования частиц в кристаллической решетке подробно исследован только на поздних стадиях его развития, когда в результате объединения большого числа частиц получаются нанокристаллы, различимые методами электронной микроскопии и рентгеновской дифракции. Вместе с тем решающее значение для всего процесса в целом играют начальные стадии, на которых образуются зародыши роста кластеров. Эти кластеры, состоящие всего из нескольких примесных атомов, могут иметь различную атомарную конфигурацию и характеризуются различными электронными процессами, происходящими при их образовании. Можно предполагать, что физические механизмы образования зародышей являются достаточно общими для широкого круга кристаллов. В дальнейшем полученная информация может быть использована для решения таких важных на практике задач, как легирование полупроводников и управление состоянием кластеров в них, рост кристаллов, самоорганизация примесных атомов в кристаллических решетках металлов и сплавов. Обычно процесс агрегации рассматривается с точки зрения перескоков атомов в кристаллической решетке под действием термических флуктуаций. Теоретические представления об этом процессе в основном базируются на расчете дилатации решетки и ее влияния на коэффициент диффузии. При этом из поля зрения выпадают другие важные особенности агрегирования, а именно наличие электронных и спиновых реакций между параметрическими частицами, обладающими спином. Это сближает процесс агрегирования со спиновой химией, в которой такие реакции изучались только применительно к жидкокристалльным системам [15, 16]. Можно ожидать значительных изменений физики спин-зависимых реакций по сравнению с процессами, изучаемыми в жидкостях. Диполь-дипольные и спин-орбитальные взаимодействия, анизотропия внутрикристаллического поля, иная молекулярная динамика параметрических частиц — все это изменяет эффективность спин-зависимых процессов в твердом теле и требует дополнительных исследований.

5. ВЫВОДЫ

1. Обнаружено, что пластическое деформирование кристаллов в условиях линейно нарастающего со временем механического напряжения приводит к

уменьшению концентрации изолированных примесно-вакансационных диполей и образованию кластеров с обменным взаимодействием ферромагнитного типа. Это может быть обусловлено созданием благоприятных условий для сближения диполей в зонах сильных искажений кристаллической решетки вблизи ядер дислокаций, а также переносом диполей движущимися дислокациями.

2. Старение кристаллов при комнатной температуре в течение 10^3 ч приводит к агрегированию изолированных примесно-вакансационных диполей в обменно-связанные кластеры (димеры), содержащие по два иона Eu^{2+} . Для адекватного описания температурных зависимостей магнитного момента образца не требуется учитывать вклад более крупных кластеров.

3. Среди образовавшихся примерно через 50 ч после закалки кластеров имеются магниточувствительные конфигурации, которые под действием постоянного магнитного поля с индукцией 5 Тл изменяют оптические и магнитные свойства при комнатной температуре. Обнаружено, что поле инициирует переход части кластеров из высокоспинового в низкоспиновое состояние.

Работа выполнена в рамках Президентской программы поддержки исследований молодых докторов наук (проект № 02-15-99302), при поддержке РФФИ (грант № 04-02-17576), а также Государственной программы РАН «Спинtronика».

ЛИТЕРАТУРА

1. В. И. Альшиц, Е. В. Даринская, М. В. Колдаева, Е. А. Петржик, Кристаллография **48**, 768 (2003).
2. Ю. И. Головин, ФТТ **46**, 769 (2004).
3. Р. Б. Моргунов, УФН **174**, 131 (2004).
4. J. Rubio, J. Phys. Chem. Sol. **52**, 101 (1991).
5. A. E. Cordero-Borboa, O. Cano-Corona, A. Cleavel-Hernandez, and E. Orozco, J. Physica C **19**, 7113 (1986).
6. J. A. Munoz, E. Rodriguez, J. O. Tocho, and F. Cusso, J. Luminescence **72-74**, 233 (1997).
7. N. M. Bannon and J. Corish, Phil. Mag. A **51**, 797 (1985).
8. F. J. Lopez, H. Murrieta S., A. Hernandez, and J. Rubio, Phys. Rev. B **22**, 6428 (1980).

9. J. E. Munoz-Santiuste and J. Garcia-Sole, Phys. Rev. B **38** II, 10874 (1988).
10. P. W. M. Jacobs, J. Phys. Chem. Sol. **51**, 35 (1990).
11. Р. Б. Моргунов, А. А. Баскаков, И. Н. Трофимова, Д. В. Якунин, ФТТ **45**, 257 (2003).
12. Р. Б. Моргунов, С. З. Шмурек, А. А. Баскаков и др., Письма в ЖЭТФ **76**, 366 (2002).
13. Р. Б. Моргунов, А. А. Баскаков, ФТТ **45**, 91 (2003).
14. Р. Б. Моргунов, А. А. Баскаков, ФТТ **43**, 1632 (2001).
15. Б. Я. Зельдович, А. Л. Бучаченко, Е. Л. Франкевич, УФН **155**, 3 (1988).
16. K. M. Salikhov, Yu. N. Molin, R. Z. Sagdeev, and A. L. Buchachenko, *Spin Polarization and Magnetic Field Effects in Radical Reactions*, ed. by Yu. N. Molin, Elsevier, Amsterdam (1984).
17. Ю. А. Осипьян, С. И. Бредихин, В. В. Кведер и др., *Электронные свойства дислокаций в полупроводниках*, Эдиториал УРСС, Москва (2000), с. 46.
18. А. Л. Бучаченко, *Спиновая химия*, Изд-во МГУ, Москва (2002).
19. А. Л. Бучаченко, Успехи химии **62**, 1139 (1993).
20. P. A. Schnegg, C. Jaccard, and M. Aegeuter, Phys. Stat. Sol. (b) **63**, 587 (1974).
21. *Molecular Magnetism (New Magnetic Materials)*, ed. by Koichi Itoh and Minoru Kinoshita, Gordon and Breach Sci. Publ., Kodansha, Tokyo (2000), p. 75.
22. E. J. Sharp and D. A. Avery, Phys. Rev. **158**, 511 (1967).
23. Yu. A. Ossipyan, R. B. Morgunov, A. A. Baskakov, S. Z. Shmurak, and Y. Tanimoto, Phys. Stat. Sol. (a) **201**, 148 (2004).
24. M. Górska, J. R. Anderson, G. Kido, S. M. Green, and Z. Golacki, Phys. Rev. B **45**, 11702 (1992).
25. Р. Б. Моргунов, С. З. Шмурек, А. А. Баскаков, Й. Танимото, ЖЭТФ **124**, 840 (2003).
26. J. E. Srtutt and E. Lilley, Phys. Stat. Sol. (a) **33**, 229 (1976).
27. J. R. Anderson, G. Kido, Y. Nishina, M. Górska, L. Kowalczyk, and Z. Golacki, Phys. Rev. B **41**, 1014 (1990).